

Linzer biol. Beitr.	52/1	537-552	31.7.2020
---------------------	------	---------	-----------

## Neue Köcherfliegen (Insecta, Trichoptera) von Papua

Hans MALICKY, Stanislav I. MELNITSKY & Vladimir D. IVANOV

**A b s t r a c t :** The following 17 new species from Papua Island are described and figured: *Agapetus kerkutha* nov.sp., *A. lamas* nov.sp. (both Glossosomatidae), *Hydroptila neciel* nov.sp. (Hydroptilidae), *Chimarra oertha* nov.sp., *C. sariel* nov.sp., *C. turel* nov.sp., *C. vadros* nov.sp., *C. zutiel* nov.sp. (Philopotamidae), *Horvathomina melnitskyi* nov.sp., *Ecnomus kokbiel* nov.sp. (Ecnomidae), *Abacaria ivanovi* nov.sp. (Hydropsychidae), *Oecetis lazaba* nov.sp., *Setodes lelahel* nov.sp., *Triaenodes malika* nov.sp., *T. nathaniel* nov.sp., *T. rahel* nov.sp. (Leptoceridae) and *Anisocentropus reuel* nov.sp. (Calamoceratidae). The following are figured for comparison: *Nyctiophylax bunk* OLÁH, 2012 (Polycentropodidae), *Ecnomus terul* OLÁH, 2013 (Ecnomidae), *Oecetis quadrangula* BOTOSANEANU, 2009, *Leptocerus atsou* SCHMID, 1987.

**K e y w o r d s :** Trichoptera, Papua, new species

### Einleitung

Die Holotypen befinden sich, sofern nicht ausdrücklich anderes angegeben, in der Sammlung des Zoologischen Instituts der Russischen Akademie der Wissenschaften St. Petersburg, Paratypen auch in der Sammlung des Erstautors. – Die Namen der neuen Arten kommen meistens aus der Liste der Engel von Umberto Eco.

Häufige Abkürzungen: LA: Lateralansicht, DA: Dorsalansicht, VA: Ventralansicht, OA: Obere Anhänge, UA: Untere Anhänge, PA: Phallischer Apparat, VFL: Länge eines Vorderflügels.

### Beschreibung der Arten

#### Glossosomatidae

##### *Agapetus kerkutha* MALICKY, MELNITSKY & IVANOV nov.sp.

Holotypus ♂ und Allotypus ♀ (in Kopula gefangen): Papua, bass. Baliem, Elagaima, 15.-19.8.2012, leg. Kluge & Sheyko. Mehrere ♂ Paratypen vom selben Platz und Datum sowie von mehreren Orten nahe Wamena (ca. 4°08'S, 128°56'E, 1679-1723m), 16.-19.8.2012, leg. Melnitsky.

Graubraun, VFL 4,5-5 mm. Sternit 6 mit einem langen, dünnen Ventrokaudalzahn. ♂ KA (Tafel 1): 9. Segment in LA dreieckig mit langer Ventralkante und sehr kurzer Dorsalkante. Das 10. Segment besteht aus einem sklerotisierten Ventralteil, der in LA rundlich endet, in DA mit nach innen gerichteten Spitzen endet; dorsal davon ist das Segment groß und häutig. OA schlank und gerade. UA in LA oval, in VA spitz mit gerader

Außenkante und leicht konvexer Innenkante, in 2/3 ihrer Länge mit zwei vorstehenden Zähnen. PA groß und ziemlich dick, in LA mit nach oben gebogenen Spitzen am Ende; innen mit großen, auffallend geformten Skleriten, an denen mehrere Haken auffallen (siehe die Abbildung).

***Agapetus lamas* MALICKY, MELNITSKY & IVANOV nov.sp.**

Holotypus ♂ und einige ♂♂ Paratypen: Papua, Jayapura, Waena, 9.-13.8.2012, leg. Kluge & Sheyko.

Gelbbraun, VFL 2,5 mm. Sternit 6 mit einem sehr langen, dünnen Ventrokaudalzahn. ♂ KA (Tafel 1): Die Vorderkante des 9. Segments springt in LA im ventralen Drittel weit und rund nach vorne vor. Dorsalkante mäßig lang, Kaudalkante fast gerade. 10. Segment in LA lang, in den ersten zwei Dritteln breit, dann in eine Krallen in Fortsetzung der Ventralkante verschmälert, die nach oben gekrümmt ist. OA gerade, schmal. UA in VA mit einem geraden Außenrand und einer ovalen Ausnehmung innen; das Ende ist schräg zugespitzt, mit einer Kante in 2/3 der Länge des Anhangs. 10. Segment in DA lang und schmal zweispitzig. PA groß, mit zwei kurzen Dornen innen. – Wir kennen keine sehr ähnlichen Arten.

**H y d r o p t i l i d a e**

***Hydroptila neciel* MALICKY, MELNITSKY & IVANOV nov.sp.**

Holotypus ♂: Papua, 3 km S Wamena, Helaluwa river, 1679m, 4°08'S, 138°56'E, 18.8.2012, leg. Melnitsky.

Gelbbraun, VFL 3 mm. ♂ KA (Tafel 1): 9. Segment in LA mit weit nach vorne vorspringender Vorderkante. 10. Segment in LA lang oval, distal leicht abgerundet, in DA aus zwei abgerundeten Finger bestehend, zwischen denen es einen kürzeren, dünnen, unpaaren Finger gibt. UA lang und schlank, in LA leicht nach unten gekrümmt und locker mit groben Dörnchen besetzt, in VA fingerförmig. Der PA ist wie üblich schlank und hat distal einen sehr großen, im Kreis zurückgebogenen Haken. – Von vielen ähnlichen Arten unterscheidet sich diese vor allem durch den riesigen Distalhaken des PA.

**P h i l o p o t a m i d a e**

***Chimarra oertha* MALICKY, MELNITSKY & IVANOV nov.sp.**

Holotypus ♂ und einige ♂♂ Paratypen: Papua, 2 km N Sentani airport, 140m, 2°33'S, 140°31'E, 13.8.2012, leg. Melnitsky. – 1♂ Paratype: 3 km N Sentani airport, 2°33'S, 14°30'E, 160m, 12.8.2012, leg. Melnitsky. – 1♂ Paratype: Jayapura, Depayre, 25.-26.8.2012, leg. Kluge & Shyko.

Braun, VFL 5-5,5 mm. ♂ KA (Tafel 2): 9. Segment in LA mit konkaver Vorder- und konvexer Hinterkante, mit einem großen, dreieckigen Ventrokaudalzahn. OA in LA basal relativ breit, im Endteil in Verlängerung der Ventralkante spitz und nach oben gekrümmt; in DA jederseits mit einer kurzen, nach hinten gerichteten Spitze außen und einem rhombenförmigen langen Blatt innen, mit gerader Innenkante. OA groß, rund; UA in LA mit gerader Dorsal- und konvexer Ventralkante, spitz, in VA halbmondförmig nach innen gebogen und mit einer gezähnelten Leiste innen. Der PA enthält zwei gerade Stäbe. – Sehr ähnliche Arten kennen wir nicht.

***Chimarra sariel* MALICKY, MELNITSKY & IVANOV nov.sp.**

Holotypus ♂: Papua, near Sentani, 15.8.2012, leg. Konstantinov. – Weitere Paratypen: gleicher Platz, 16.8.2012: 1♂. – Jayapura, Sentani, 21.-24.8.2012, leg. Kluge & Sheyko: 3♂♂. – Jayapura, Waena, 9.-13.8.2012, leg. Kluge & Sheyko: 3♂♂.

Braun, VFL 4,5-5 mm. ♂ KA (Tafel 2): 9. Segment in LA breit dreieckig mit geraden Ventral- und Kaudalkanten. Vorderkante mit einer großen Falte. Ventrokaudalzahn sehr groß, spitz dreieckig. 10. Segment in LA sehr groß, mit einem dicken distalen Finger; in DA distal tief rund eingebuchtet und mit einem Paar langer Finger. OA relativ klein, rundlich. Die UA haben einen dünnen, sehr spitzen, nach oben/hinten gerichteten Ast und ventral einen kurzen, nach unten vorspringenden runden Finger, dazwischen eine bucklige Kante. In VA haben sie eine sehr breite, kurze Basis, an deren äußeren Ende der spitze, lange Ast nach hinten weist. PA innen mit einem fast geraden und zwei kürzeren krallenförmigen Skleriten. In der Ruhe sind die langen, spitzen UA dicht an den Kaudalrand des 9. Segments angelegt, so daß die Ventralansicht der ganzen Struktur anders aussieht: hier sind beide Möglichkeiten abgebildet. – Ähnlich ist *Chimarra ujika* OLÁH, 2012 von Batanta, bei der aber am 10. Segment in DA ein langer, spitzer Stachel seitlich absteht.

***Chimarra turel* MALICKY nov.sp.**

Holotypus ♂: Papua-Neuguinea, Western Highlands Province, near Tari, Ambua Lodge, 2100m, 24.8.2004, leg. E. Heiss, in der Sammlung des Erstautors.

Dunkelbraun, VFL 6 mm. ♂ KA (Tafel 3): 9. Segment relativ breit, Vorderkante konkav, Kaudalkante eckig konvex. Der Ventrokaudalzahn ist auffallend lang und liegt dem Segment flach rechteckig an. 10. Segment besteht aus zwei Lappen, die in DA zueinander neigen. OA groß, rund mit breiter Basis. UA in LA breit, allmählich zu der kleinen Spitze verschmälert, in VA schlank und halbkreisförmig nach innen gebogen. Der PA enthält einen geraden, dünnen Stab, ferner ein Paar subdistaler s-förmiger schlanker Haken und ein Paar sehr dicker, kurzer Haken. Dorsal sitzt ihm ungefähr in der Mitte eine rundliche Struktur auf, die wir nicht deuten können; möglicherweise eine Mißbildung; da nur ein Exemplar vorliegt, kann das nicht beurteilt werden.

***Chimarra vadros* MALICKY, MELNITSKY & IVANOV nov.sp.**

Holotypus ♂: Papua, near Sentani, 16.8.2012, leg. Konstantinov.

Braun, VFL 5 mm. ♂ KA (Tafel 3): 9. Segment in LA mit in der Mitte konkaver Vorderkante, die oben einen vorspringenden Höcker trägt und gegen ventral zu breit und gebaucht ist. Kaudalkante in 1/3 der Höhe stumpf vorspringend, Ventrokaudalzahn klein, dreieckig. OA rund, klein. 10. Segment in LA groß und rundlich vorspringend, in DA mit je einem subdistalen, nach außen gerichteten stumpfen Haken. UA in LA schlank, Basalhälfte breiter, Distalhälfte spitz zulaufend; in VA schlanker und nach innen gebogen, distal spitz. PA subdistal mit mehreren längeren und kürzeren, leicht gekrümmten Stäben.

***Chimarra zutiel* MALICKY, MELNITSKY & IVANOV nov.sp.**

Holotypus ♂: Papua, bass. Baliem, Elagaima, 15.-19.8.2012, leg. Kluge & Sheyko.

Braun, VFL 5,5 mm. ♂ KA (Tafel 3): 9. Segment in LA annähernd birnförmig, dorsal eckig. Der Ventrokaudalzahn liegt dem Segment flach rechteckig an und hat am

Kaudalende eine nach hinten gerichtete Spitze. Das 10. Segment hat jederseits eine große vorspringende Platte, deren Form aus der Zeichnung zu entnehmen ist. Dorsobasal von ihr entspringt ein gerader, spitzer Stachel. OA in LA flach, länglich. Die UA sind in LA basal rundlich und laufen mit geraden Kanten in eine Spitze aus; in VA sind sie schlank, halbkreisförmig nach innen gebogen und spitz. Der PA hat distal eine größere Menge von dicken, geraden Dornen, die nach ventral weisen.

### **P o l y c e n t r o p o d i d a e**

#### ***Nyctiophylax bunk* OLÁH, 2012**

Wir bilden hier (Tafel 4) ein Exemplar von Jayapura (Waena, 9.-13.8.2012, leg. Kluge & Sheyko) ab, das wir für diese von Batanta beschriebene Art halten. Es scheint einen kleinen Unterschied in der DA der OA zu geben, aber es kann sein, dass das dort ungenau gezeichnet ist.

### **E c n o m i d a e**

#### ***Horvathomina melnitskyi* MALICKY nov.sp.**

Holotypus ♂: Papua, 4 km SE Sentani airport, Lake Sentani, 91m, 2°35'S, 140°31'E, 14.8.2012, leg. Melnitsky. – 5♂♂ Paratypen: Papua, 3 km S Wamena, Helaluwa river, 1681m, 4°08'S, 138°56'E, 18.8.2012, leg. Melnitsky.

Spornformel 244, Ocellen fehlen, Maxillarpalpen fünfgliedrig mit langem, geringeltem Endglied. Flügelgeäder siehe Abbildung. Hellbraun, VFL 3,5-4 mm. – ♂ KA (Tafel 4): Das 9. Segment hat einen in LA im ventralen Drittel weit rundlich nach vorne vorspringenden Vorderrand, der weiter dorsal leicht konkav verläuft. Die Ventralkante ist gerade, aber die Kaudalkante scheint unterhalb der Mitte eingekerbt: der unterhalb der Einkerbung liegende Teil ist lateral abgesetzt und erscheint in VA als rundliche Ausbuchtung. Dorsal gibt es ein Paar große, sowohl in LA als auch in DA gedrungene breite Anhänge, von denen mir nicht klar ist, ob sie das 10. Segment oder die OA darstellen. In DA erscheinen sie abgerundet rechteckig mit je einem nach innen gerichteten stumpfen Finger. Die UA bestehen aus einem einheitlichen Block, der in LA zwei mäßig lange, nach hinten gerichtete Finger trägt: der dorsale ist etwas kürzer und leicht nach unten gebogen, der mittlere ist länger, gerade und trägt distal eine starke, sehr lange, fast gerade Borste. Darunter ist noch ein rundlicher Vorsprung zu erkennen. In VA ist dieser Vorsprung paarig und rundlich; der längere Finger verläuft in Fortsetzung des Außenrandes und ist etwas nach innen geneigt. Dahinter erscheint der dorsale, kürzere Finger als eine nach innen gebogene stumpfe Krallen. Am PA sind kaum Einzelheiten zu erkennen (siehe Abbildung). – Von der Gattung *Horvathomina* sind jetzt drei Arten von der Insel Batanta bekannt (OLÁH 2014). Am ähnlichsten scheint die neue Art der *H. akosi* OLÁH, 2014 zu sein, bei der aber die lange Borste an der UA stark gekrümmt und gedreht ist. Ferner scheint es weitere Unterschiede in der Ventralansicht der KA zu geben, aber ich müßte Originalstücke vergleichen, um das beurteilen zu können.

#### ***Ecnomus kokkiel* MALICKY, MELNITSKY & IVANOV nov.sp.**

Holotypus ♂: Papua, 3 km S Wamena, Helaluwa river, 1679m, 4°08'S, 138°56'E, 18.8.2012, leg. Melnitsky.

Gelbbraun, VFL 5 mm. ♂ KA (Tafel 4): Dorsal- und Ventralteil des 9. Segments ungefähr gleich groß und gleich geformt, länglich oval. OA groß, in LA abgerundet rechteckig, Ventralakante subdistal leicht eingebuchtet, in DA lang und schlank mit vielen nach innen gerichteten Borsten im Endteil. Innere Zwischenanhänge sehr klein, knopfförmig. UA in LA kurz und spitz, Dorsalkante im Basaldrittel mit einem Höcker, in VA basal bis knapp vor der Mitte breit und fast quadratisch, von da an durch einen Knick der Innenkante verschmälert und spitz nach innen gebogen. PA lang, relativ breit und distal mit einer langen Spitze. – Obwohl es viele ähnliche Arten gibt, ist in der Kombination der Merkmale keine andere sehr ähnlich.

### ***Ecnomus terul* OLÁH, 2013**

Wir bilden hier die ♂ KA (Tafel 5) eines Stückes (Papua, 2 km N Sentani airport, 13.8.2012, leg. Melnitsky) ab, das zu dieser von Batanta beschriebenen Art gehören könnte. Gegenüber der Originalzeichnung (OLÁH 2013: 49) fällt ein kleiner Unterschied in der VA der UA auf. Es kann aber auch sein, daß dies dort ungenau gezeichnet ist.

## **H y d r o p s y c h i d a e**

### ***Abacaria ivanovi* MALICKY nov.sp.**

Holotypus ♂ (und 2 vermutlich dazugehörige ♀♀): Papua, Wamena, river Wamena, 1723m, 4°06'S, 138°55'E, 16.8.2012, leg. Melnitsky.

Ich stelle diese auffällende Hydropsychide in die Gattung *Abacaria* wegen ihres Flügelgeäders (Hinterflügelgabeln 2, 3 und 5 vorhanden, siehe OLÁH & al. 2006: 7), obwohl im ♂ KA wenig Ähnlichkeit mit den anderen *Abacaria*-Arten jener Region besteht. ♂ KA (Tafel 5): Das 9. Segment hat eine konvexe Vorderkante. Seine Kaudalkante ist im ventralen Viertel sehr weit rechteckig nach hinten vorgezogen, so daß die UA innerhalb dieser großen so entstehenden Platten entspringen. 10. Segment kompakt und dicht beborstet (siehe Abbildung). Die UA sind sehr lang und schlank, das 2. Glied ist ungefähr halb so lang wie das erste, beide zusammen sind s-förmig geschwungen. In VA ist das 1. Glied gerade, das zweite nach innen gebogen und distal leicht keulenförmig. Die Ventralakante des PA ist in der Distalhälfte sehr dicht mit dicken, verschiedenen langen Dornen besetzt, die nach unten abstehen. Hinsichtlich der Form des 9. Segments und der Bedornung des PA erscheint diese Art als einzigartig.

## **L e p t o c e r i d a e**

### ***Oecetis lazaba* MALICKY, MELNITSKY & IVANOV nov.sp.**

Holotypus ♂ und 1 ♀ Paratypus: Papua, 3 km N Sentani airport, 160m, 2°33'S, 140°30'E, 12.8.2012, leg. Melnitsky. – Mehrere ♂♂ Paratypen: 2 km N Sentani airport, 140m, 2°33'S, 140°31'E, 13.8.2012, leg. Melnitsky.

Gelbbraun, VFL 9 mm. Hinterrand der Hinterflügel mit langen schwarzen Haaren. Keine Maschenplatten auf den Abdominaltergiten. ♂ KA (Tafel 6): 9. Segment in LA breit und rund, Kaudalkante leicht eingedellt. Das 10. Segment ist in LA groß und bananenförmig, in DA erscheint es als ein dünner, gerader Grat. OA groß, in LA und auch in DA spitz dreieckig. UA in LA schlank, fast gerade, mit einem kurzen dorsalen Vorsprung im ersten

Drittel ihrer Länge; in VA sehr schmal, spitz, halbmondförmig nach innen gebogen. PA gedrunken, leicht asymmetrisch und innen mit vielen groben Stacheln. – Ähnlich ist *Oecetis wamena* MALICKY, 2005, aber die UA haben den subbasalen Vorsprung an der Ventrakante, das 10. Segment ist in DA breit und der PA ist sehr breit und unregelmäßig geformt.

***Oecetis quadrangula* BOTOSANEANU, 2009**

Wir geben hier eine Abbildung (Tafel 6) des uns vorliegenden Stücks von Wamena (1709m, 4°05'S, 138°54'E, 17.8.2012, leg. Melnitsky). Es handelt sich offenbar um diese Art, die aber in der Originalpublikation (BOTOSANEANU 2009: 91) ungenau gezeichnet ist.

***Leptocerus atsou* SCHMID, 1987**

Hier geben wir auf Tafel 7 eine ergänzende Abbildung (vgl. SCHMID 1987, p. 126., pl. 26, fig. 9,10) dieser aus Australien beschriebenen und dort weit verbreiteten Art. Herkunft des ♂ Exemplars: Papua, 4 km SE Sentani airport, Lake Sentani, 91m, 2°35'S, 140°31'E, 14.8.2012, leg. Melnitsky.

***Setodes lelachel* MALICKY, MELNITSKY & IVANOV nov.sp.**

Holotypus ♂ und einige ♂♂ Paratypen: Papua, 3 km N Sentani airport, 160m, 2°33'S, 140°30'E, 12.8.2012, leg. Melnitsky. – Weitere Paratypen: Paupa, near Sentani, 15.8.2012, leg. Kostantinov, 1♂. – Papua, 2 km N Sentani airport, 140m, 2°33'S, 140°31'E, 13.8.2012, leg. Melnitsky, 1♂. – Papua, Jayapura, Depanne, 25.-26.8.2012, leg. Kluge & Sheyko, 1♂, 2♀♀.

Ockergelb, VFL 5,5-7 mm. ♂ KA (Tafel 7): 9. Segment in LA birnförmig: ventral breit abgerundet, dorsal sehr kurz. 10. Segment in LA breit und lang, allmählich zur leicht nach unten weisenden abgestutzten Spitze verschmälert, in DA rechteckig mit einer Einbuchtung des Kaudalrandes. UA ungefähr so lang wie das 10. Segment, in LA leicht nach oben gebogen und in zwei Knöpfen endend, in VA aus breiter Basis allmählich verschmälert und in zwei stumpfen Lappen endend. – Sehr ähnlich ist *Setodes papuana* KIMMINS, 1962, bei dem aber die UA distal spitz enden.

***Triaenodes malika* MALICKY, MELNITSKY & IVANOV nov.sp.**

Holotypus ♂: Papua, 4 km SE Sentani airport, Lake Sentani, 91m, 2°35'S, 140°31'E, 14.8.2012, leg. Melnitsky.

Hellgelb, nur Augen dunkler. VFL 8 mm. ♂ KA (Tafel 8): 9. Segment in LA mit fast geraden Vorder- und Ventralrändern, dieser weit nach hinten vorspringend; Kaudalkante tief eingebuchtet, Dorsalteil kurz. Das 10. Segment ist ein einfacher, unpaarer, langer spitzer Dorn. OA lang, schlank. Der Außenteil der UA ist in LA eiförmig mit einem spitzen Zahn in der Mitte der Dorsalkante und einem kleinen distalen Vorsprung; in VA aus breiter Basis durch eine schräge Innenkante in eine nach innen gewendete Krallen verschmälert. Der Innenteil der UA ist asymmetrisch: an dem linken UA ist er klein und in LA hinter dem Außenteil versteckt und besteht aus einer kurzen Krallen und dorsal davon einem mäßig langen Dorn, beide nach unten gebogen. Am rechten UA besteht der Innenteil aus zwei sehr großen, langen nach hinten/unten gebogenen Dornen. – Ähnliche Arten mit derart asymmetrischen UA kennen wir nicht.

***Trianodes nathaniel* MALICKY, MELNITSKY & IVANOV nov.sp.**

Holotypus ♂: Papua, Jayapura, Waena, 9.-13.8.2012, leg. Kluge & Sheyko.

Gelblich, VFL 6 mm. ♂ KA (Tafel 8): 9. Segment in LA mit fast gerader Vorder- und Ventrakante, dorsal sehr schmal, Kaudalkante fast gerade und sehr schräg verlaufend. Das 10. Segment besteht aus einem Paar schmaler, langer, zweispitziger Platten, die in LA nur als eine Spitze erscheinen. OA lang und schlank. Die UA haben in LA eine kurze, ungefähr quadratische Basis, aus der nach oben ein stumpfer Finger entspringt und die nach hinten in einen sehr langen, dünnen Finger fortgesetzt ist, der in LA hinauf oder hinunter gebogen erscheinen kann. Innen entspringt dieser Basis ein kurzer, dünner Haken. An der Basis dieser Leiste steht ein spitzer Zahn. In VA sind die UA breit, haben in Fortsetzung der Außenkante diesen spitzen Zahn und enden in dem erwähnten nach innen gebogenen Finger. – Ähnliche Arten kennen wir nicht.

***Trianodes rahel* MALICKY, MELNITSKY & IVANOV nov.sp.**

Holotypus ♂ und einige ♂♂ Paratypen: Papua, 2 km N Sentani airport, 140m, 2°33'S, 140°31'E, 13.8.2012, leg. Melnitsky.

Gelblich, Hinterrand der Hinterflügel mit langen, schwarzen Haaren. VFL 6 mm. Geäder des Vorderflügels siehe Abbildung. ♂ KA (Tafel 8): 9. Segment in LA ventral abgerundet, Kaudalkante in der Mitte eingekerbt, von wo in der Mitte der Höhe des Segments eine runde Leiste verläuft. 10. Segment in LA lang dreieckig nach hinten vorspringend, in DA in zwei stumpfen Fingern endend. OA lang und schlank. Die UA erscheinen in LA rechteckig mit einem breiten dreieckigen Fortsatz der Dorsalkante; in VA erscheinen sie abgerundet rechteckig. Der bei *Trianodes*-Arten übliche lange gebogene Dorn an der Innenseite der UA entspringt hier sehr weit basal und ist nur kurz und nach oben gerichtet. Dadurch erscheint der KA dieser Art etwas ungewöhnlich, aber das Flügelgeäder paßt gut in die Gattung.

**C a l a m o c e r a t i d a e*****Anisocentropus reuel* MALICKY, MELNITSKY & IVANOV nov.sp.**

Holotypus ♂ und Allotypus ♀ (in Kopula gefangen): Papua, Jayapura, Waena, 9.-13.8.2012, leg. Kluge & Sheyko.

Dunkelbraun, ohne Flügelmuster. Flügel breit dreieckig, VFL 10 mm. Die drei kleinen Analadern der Hinterflügel haben je eine lange geschlossene Falte, die mit einer undurchsichtigen hellen Substanz gefüllt sind. ♂ KA (Tafel 7): 9. Segment in LA breit und bauchig, dorsal und ventral schmal. 10. Segment breit und kurz, mit einer in LA rechtwinkligen Kante und jederseits mit zwei kurzen, nach ventral weisenden Spitzen. OA oval, UA kurz und in LA stumpf. Nach den ♂ KA sehr ähnlich mehreren Arten aus der Region, die aber meistens ein auffallendes Flügelmuster haben. Sehr ähnlich sind die KA bei *Anisocentropus mentes* OLÁH, 2015, der aber hellgelb ist und lange, schmale Flügel hat. An den auffallenden Falten des Hinterflügels ist diese Art leicht zu erkennen.

### Zusammenfassung

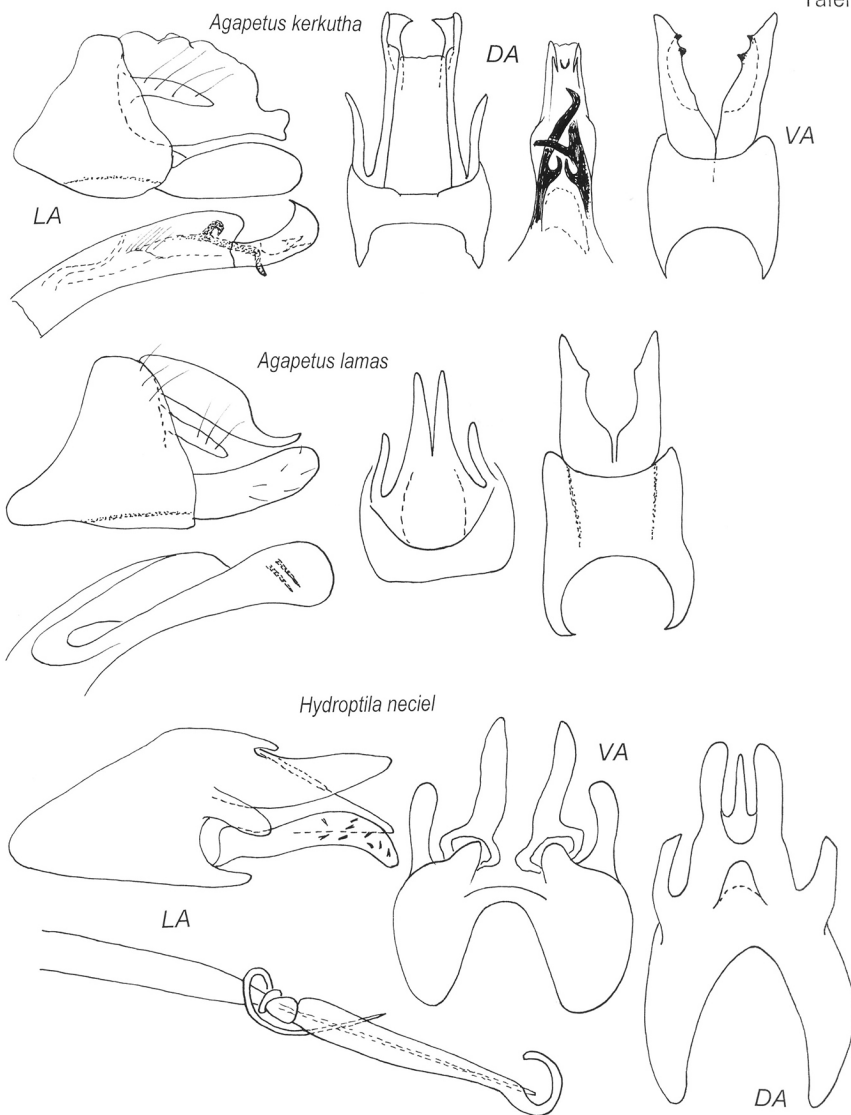
Von der Insel Papua werden 17 neue Arten beschrieben und abgebildet: *Agapetus kerkutha* nov.sp., *A. lamas* nov.sp. (beide Glossosomatidae), *Hydroptila neciel* nov.sp. (Hydroptilidae), *Chimarra oertha* nov.sp., *C. sariel* nov.sp., *C. turel* nov.sp., *C. vadros* nov.sp., *C. zutiel* nov.sp. (Philopotamidae), *Horvathomina melnitskyi* nov.sp., *Ecnomus kokbiel* nov.sp. (Ecnomidae), *Abacaria ivanovi* nov.sp. (Hydropsychidae), *Oecetis lazaba* nov.sp., *Setodes lelahel* nov.sp., *Triaenodes malika* nov.sp., *T. nathaniel* nov.sp., *T. rahel* nov.sp. (Leptoceridae) und *Anisocentropus reuel* nov.sp. (Calamoceratidae). Diese werden zum Vergleich abgebildet: *Nyctiophylax bunk* OLÁH, 2012 (Polycentropodidae), *Ecnomus terul* OLÁH, 2013 (Ecnomidae), *Oecetis quadrangula* BOTOSANEANU, 2009, *Leptocerus atsou* SCHMID, 1987.

### Literatur

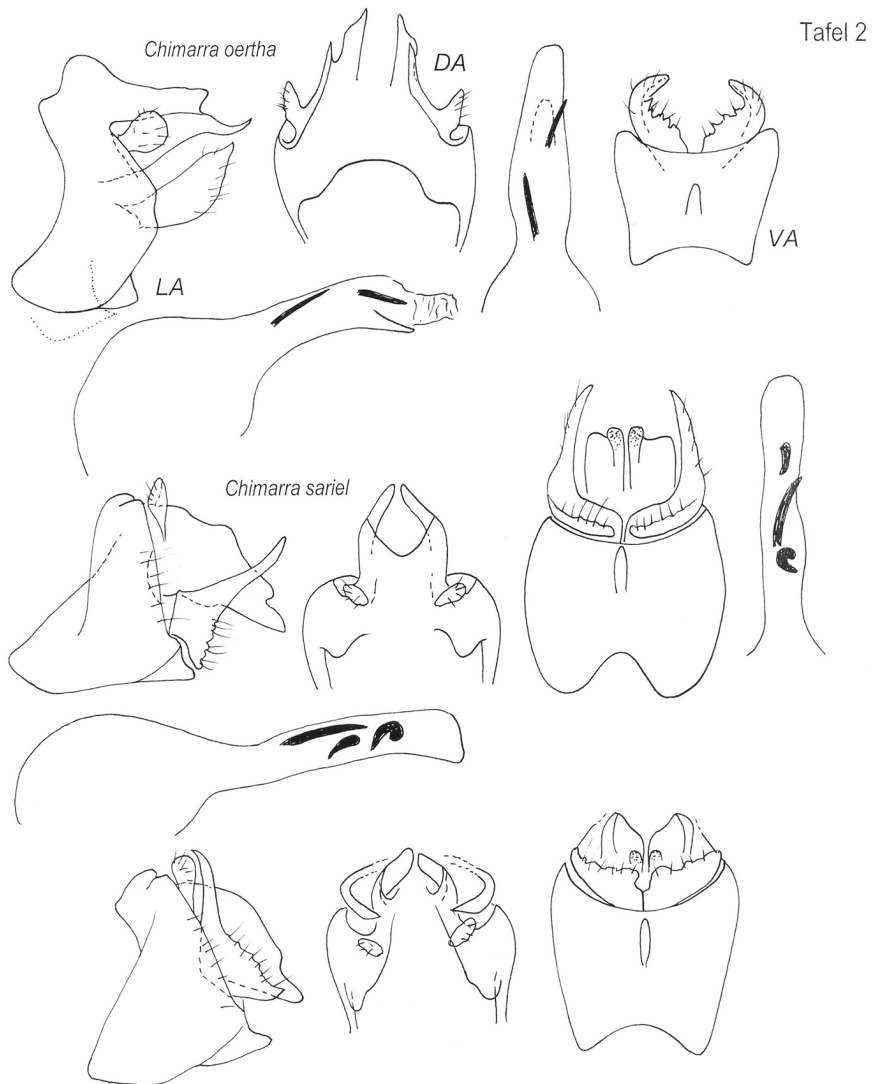
- BOTOSANEANU L. (2009): A contribution to the knowledge of the caddisfly fauna of New Guinea (Trichoptera). — *Ephemera* **10**: 79-93.
- MALICKY H. (2010): Atlas of Southeast Asian Trichoptera — Biology Department, Chiangmai University, 346 pp.
- OLÁH J., JOHANSON K.A. & P.C. BARNARD (2006): Revision of the South Pacific endemic genera *Orthopsyche* MCFARLANE 1976, *Abacaria* MOSELY 1941 and *Caledopsyche* KIMMINS 1953 with the description of 29 new species (Trichoptera, Hydropsychidae). — *Zootaxa* **1356**: 1-78.
- OLÁH J. (2013): On the Trichoptera of Batanta Island (Indonesia, West Papua, Rajy Ampat Archipelago). — *Fol. Ent. Hung.* **74**: 21-78.
- OLÁH J. (2014): On the Trichoptera of Batanta Island (Indonesia, West Papua, Rajy Ampat Archipelago). — *Fol. Ent. Hung.* **75**: 91-131.
- SCHMID F. (1986): Considérations diverses sur quelques genres Leptocérins (Trichoptera, Leptoceridae). — *Bull. Royal Sci. Nat. Belgique, Entomol. Suppl.* **57**.

Anschrift der Verfasser: Hans MALICKY  
Sonnengasse 13  
A-3293 Lunz am See, Österreich

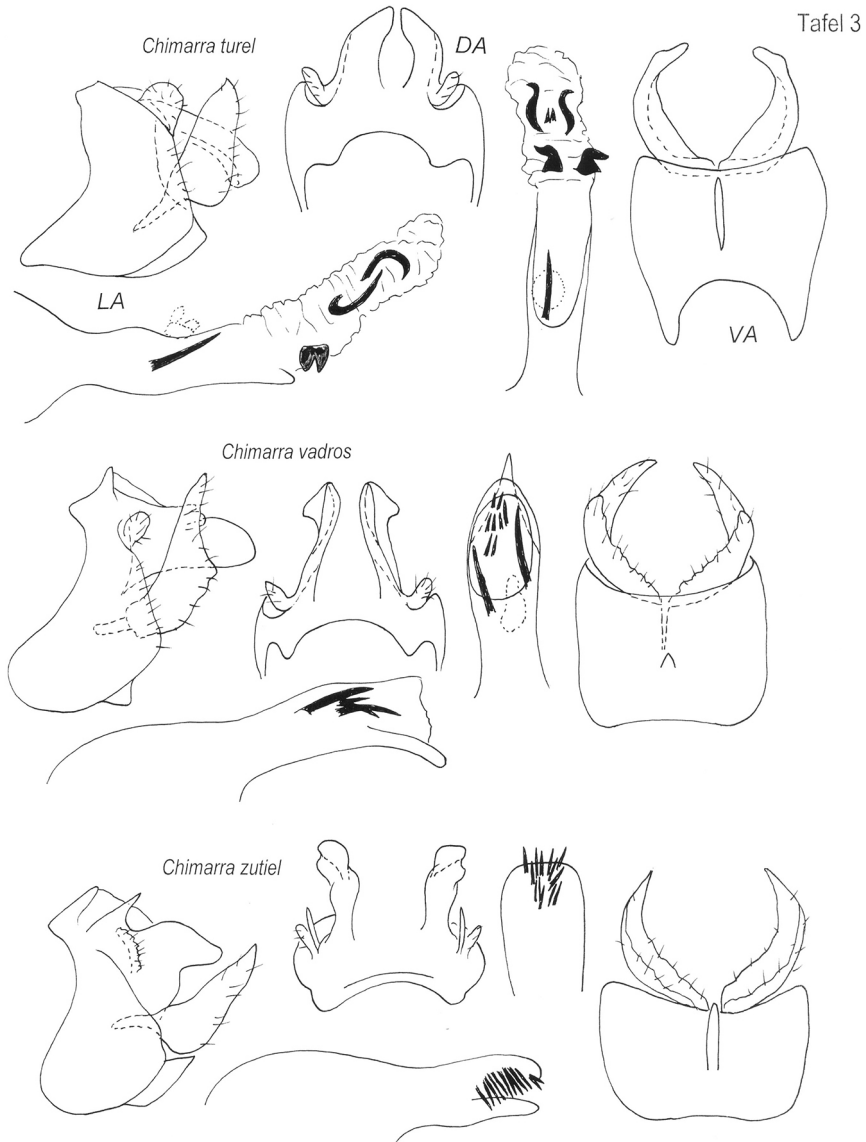
Stanislav I. MELNITSKY & Vladimir D. IVANOV  
Department of Entomology, Faculty of Biology  
St. Petersburg State University  
Universitetskaja nab., St. Petersburg 199034, Russland



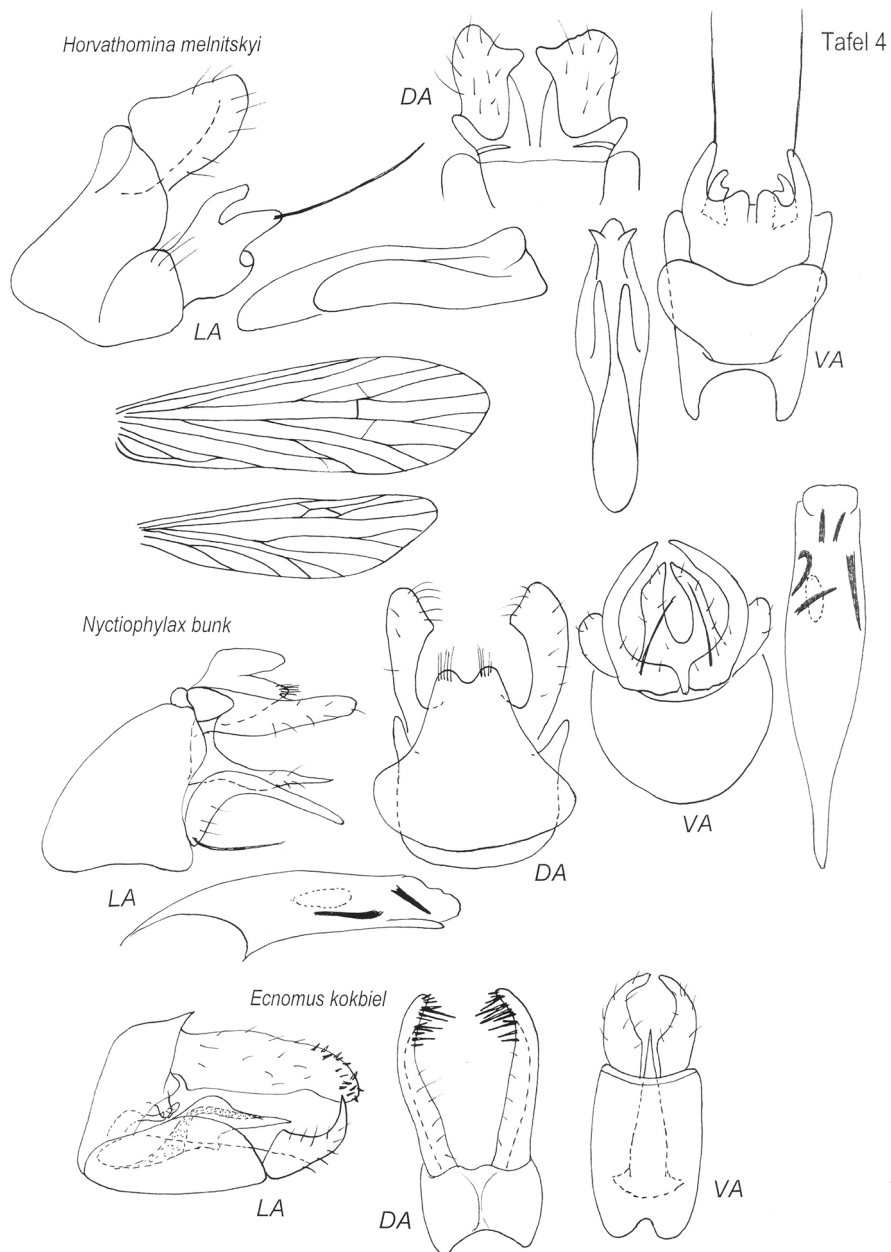
**Tafel 1:** ♂ Kopulationsarmaturen von *Agapetus*- und *Hydroptila*-Arten. LA: Lateralansicht, DA: Dorsalansicht, VA: Ventralansicht.



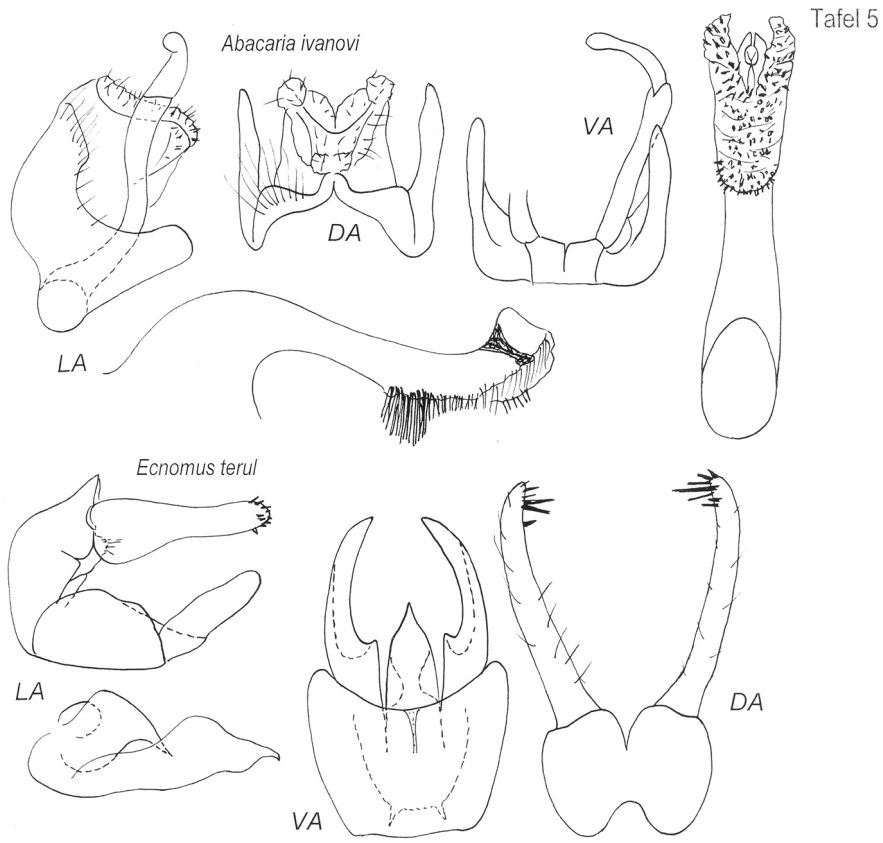
**Tafel 2:** ♂ Kopulationsarmaturen von *Chimarra*-Arten. Von *C. sariel* werden zwei Beispiele von gestreckten und eingezogenen unteren Anhängen gezeigt. LA: Lateralansicht, DA: Dorsalansicht, VA: Ventralansicht.



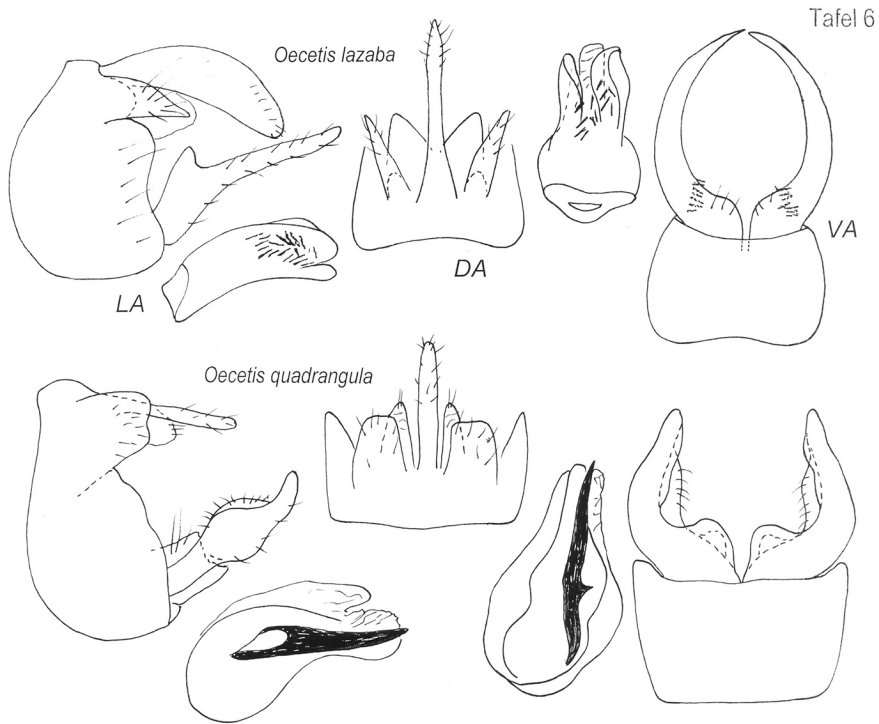
**Tafel 3:** ♂ Kopulationsarmaturen von *Chimarra*-Arten. LA: Lateralansicht, DA: Dorsalansicht, VA: Ventralansicht.



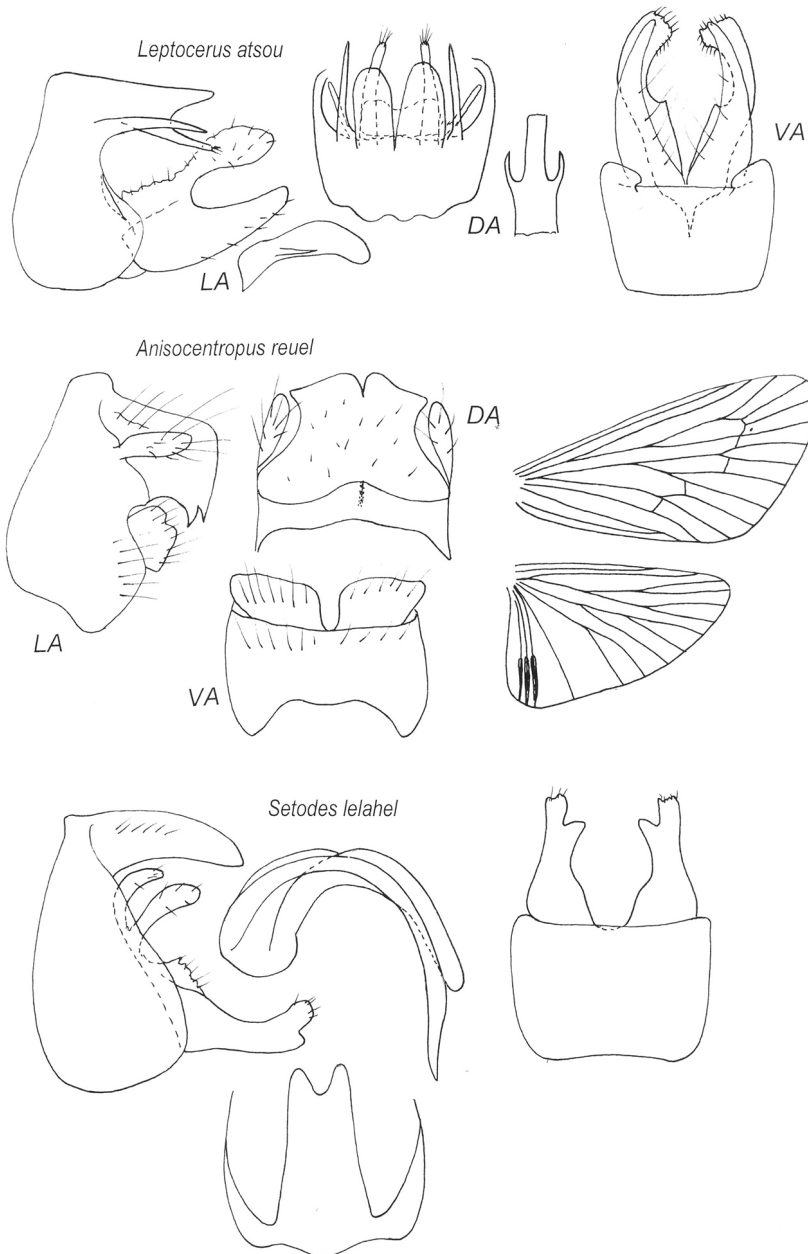
**Tafel 4:** ♂ Kopulationsarmaturen von *Horvathomina*-, *Nyctiophylax*- und *Ecnomus*-Arten. LA: Lateralansicht, DA: Dorsalansicht, VA: Ventralansicht.



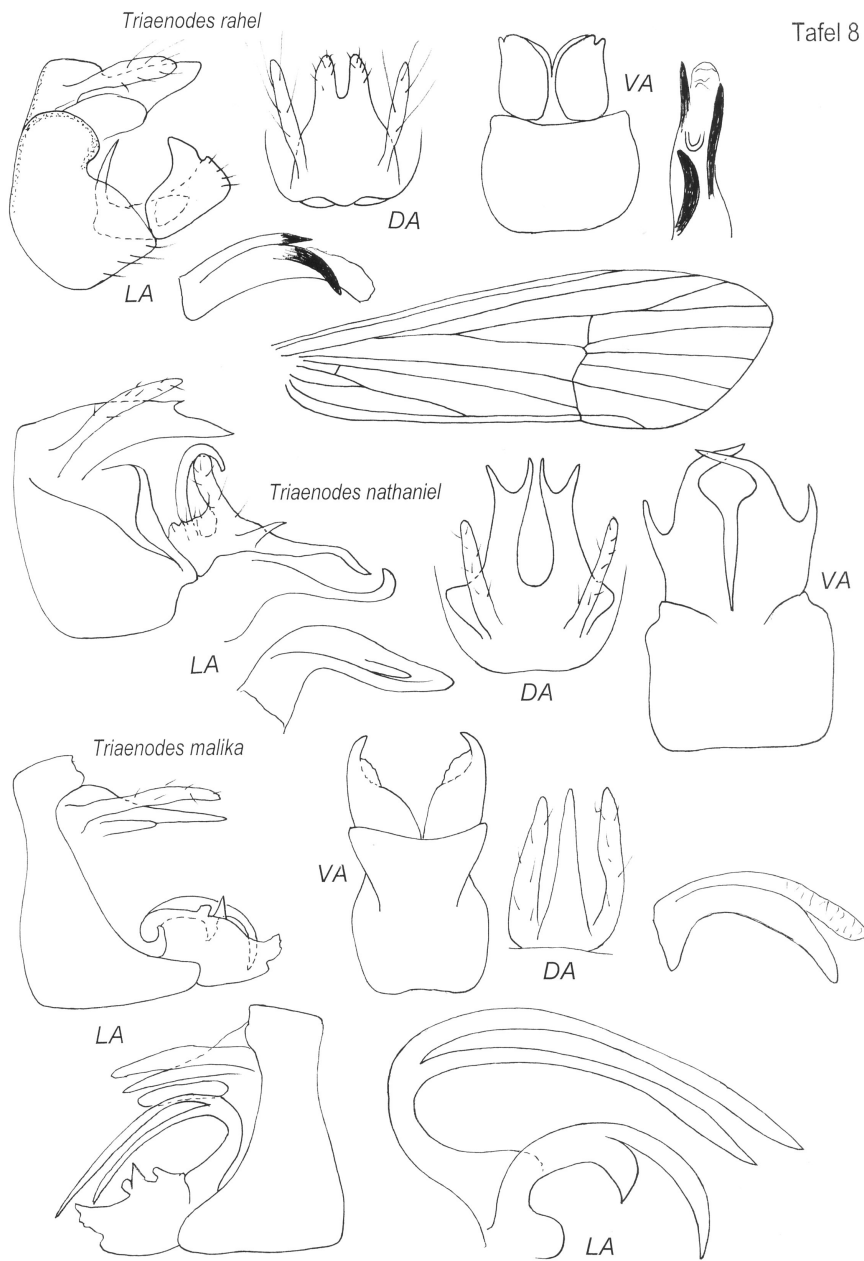
**Tafel 5:** ♂ Kopulationsarmaturen von *Abacaria ivanovi* und *Ecnomus terul*. LA: Lateralansicht, DA: Dorsalansicht, VA: Ventralansicht.



**Tafel 6:** ♂ Kopulationsarmaturen von *Oecetis*-Arten. LA: Lateralansicht, DA: Dorsalansicht, VA: Ventralansicht.



**Tafel 7:** ♂ Kopulationsarmaturen von *Leptocerus*-, *Setodes*- und *Anisocentropus*-Arten, Flügelgeäder von *A. reuel*. LA: Lateralansicht, DA: Dorsalansicht, VA: Ventralansicht.



**Tafel 8:** ♂ Kopulationsarmaturen und Vorderflügel von *Triaenodes*-Arten. LA: Lateralansicht, DA: Dorsalansicht, VA: Ventralansicht.

# ZOBODAT - [www.zobodat.at](http://www.zobodat.at)

Zoologisch-Botanische Datenbank/Zoological-Botanical Database

Digitale Literatur/Digital Literature

Zeitschrift/Journal: [Linzer biologische Beiträge](#)

Jahr/Year: 2020

Band/Volume: [0052\\_1](#)

Autor(en)/Author(s): Malicky Hans, Melnitsky Stanislav I., Ivanov Vladimir D.

Artikel/Article: [Neue Köcherfliegen \(Insecta, Trichoptera\) von Papua 537-552](#)